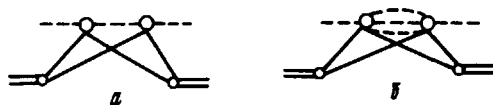


МЕХАНИЗМ ИНКЛЮЗИВНЫХ РЕАКЦИЙ И НЕУПРУГАЯ ЭКРАНИРОВКА В ДЕЙТРОНЕ

А. Б. Кайдалов, Л. А. Кондратюк

Цель этой работы – оценить вклады различных неупругих механизмов в теневую поправку $\Delta = \sigma_p + \sigma_n - \sigma_d$ при рассеянии адронов высокой энергии $E_{\text{лаб}} > 10 \text{ Гэв}$ на дейтроне. Теневая поправка содержит вклады упругой экранировки $\Delta_{e1} = (4\pi)^{-1} \langle R^{-2} \rangle \sigma_p \sigma_n [1]$ (см. рис., а) и неупругой – $\Delta_{ine1} [2 - 4]$ (см. рис., б): $\Delta = \Delta_{e1} + \Delta_{ine1}$. При вычислении Δ_{ine1} мы будем использовать экспериментальные данные по инклюзивным реакциям $\alpha + N \rightarrow X + N$ и реджевскую феноменологию [5]¹⁾.



Если инклюзивный процесс $\alpha + N \rightarrow X + N$ описывается неинтерферирующими вкладами нескольких реджеонов (аргументацию см. ниже), то неупругая теневая поправка Δ_{ine1} представляется в виде

$$\Delta_{ine1} = 2 \int dt ds' F(t) \sum_i \xi_i \frac{d^2 \sigma^i(s_1, s', t)}{dt ds'} \quad (1)$$

где $d^2 \sigma^i(s_1, s', t) / dt ds'$ – дифференциальное сечение образования пучка частиц с массой $M = \sqrt{s'}$ за счет обмена i -м реджеоном, $s_1 = (p_\alpha + p_N)^2$, $F(t) = \exp(\sigma t)$ – формфактор дейтрона, $\sigma = 40 \text{ Гэв}^{-2}$. Множитель ξ_i определяется фазой амплитуды рождения данного пучка частиц и равен $\xi_i = -\sigma_i \cos \pi \alpha_i(t)$, где $\sigma_i = \pm 1$ и $\alpha_i(t)$ – сигнатура и траектория i -го полюса Редже.

В работах [2, 4] при оценке Δ_{ine1} предполагалось, что амплитуда инклюзивной реакции $\alpha + N \rightarrow X + N$ целиком определяется вкладом вакуумного полюса P , при этом $\xi_i = 1$. Это предположение, однако, противоречит существующим экспериментальным данным по неупругим спектрам. Как показано в работе [7], вклад P -полюса (или дифракционной диссоциации) в сечение процесса $p + p \rightarrow p + X$ составляет небольшую долю (около 10%) от полного неупругого сечения σ_{ine1} и сосредоточен, в основном, в области малых масс $M \leq 2 \text{ Гэв}$. В то же время при очень высоких энергиях $s_1 \gg m^2 \sqrt{\sigma}$ существенный вклад в Δ_{ine1} , согласно формуле (1), могут давать промежуточные состояния с большими массами $M^2 \sim s_1 / m \sqrt{\sigma}$. Согласно работе

1) Интересный качественный анализ различных неупругих вкладов в Δ_{ine1} для Nd-рассеяния выполнен в рамках реджевской схемы и гипотезы о дуальности в среднем в работе [6].

[8] сечение рождения пучков с такими массами убывает с энергией приблизительно как $1/s_1$ и поэтому связано с обменом вторичными полюсами Редже P' , ω , π и т. д. Поскольку вклады вакуумного и вторичных полюсов сосредоточены в различных областях M , то интерференцией между ними можно пренебречь и Δ_{inel} можно представить в виде суммы этих двух вкладов:

$$\Delta_{inel} = \Delta_P + \Delta_B. \quad (2)$$

Независимо от того, каков механизм образования пучков частиц с большими массами, используя экспериментальную информацию о сечении процесса $a + N \rightarrow X + N$ и учитывая, что $|\xi_i| \leq 1$, можно получить верхнюю границу для Δ_B :

$$\Delta_B \leq \pi \int dp_{\perp}^2 \frac{dx}{x} [\rho_B(s_1, x, p_{\perp}) + \rho_B^{ch.ex}(s_1, x, p_{\perp})] e^{-\frac{\sigma}{x}(p_{\perp}^2 + m^2(1-x)^2)}, \quad (3)$$

где инвариантные функции ρ_B и $\rho_B^{ch.ex}$ связаны с сечениями инклюзивных процессов $a + p \rightarrow X + p$ и $a + p \rightarrow X + n$ соотношением

$$\rho(s_1, t, M) = \frac{s_1}{\pi \sigma_{inel}} \frac{d^2\sigma}{dt dM dM}, \quad p_{\perp} - \text{поперечная компонента импульса, переданного нуклону, } 1-x = (M^2 - m_a^2)/s_1.$$

Основной вклад в интеграл (3) дает область малых $1-x \sim 1/m\sqrt{\sigma}$, в которой функция ρ практически не зависит от x [8]. Поэтому, после интегрирования по p_{\perp} и x в (3), получаем:

$$\Delta_B \leq \Delta_B^{max}, \quad \Delta_B^{max} \leq \frac{\pi\sqrt{\pi}}{m\sigma^{3/2}} \bar{\rho} \sigma_{inel}, \quad (4)$$

где $\bar{\rho} = \frac{1}{2} (\rho_B + \rho_B^{ch.ex}) |_{p_{\perp}=0, x=1-\gamma/m\sqrt{\sigma}}$, $\gamma \sim 1$. Согласно

работе [8], для процесса $p + p \rightarrow p + X$, $\rho_B(p_{\perp}=0, x=0,9) = 2\Gamma_{Эв}^{-2}$ и практически не зависит от энергии. Если принять $\rho_B^{ch.ex} = \rho_B$, то $\Delta_B < 1,8 \text{ мбн}$. Таким образом, верхняя граница для Δ_B оказывается достаточно большой. (Напомним, что $\Delta_{e1} \approx 3 \text{ мбн}$ для pd -рассеяния). Такая граница достигалась бы при условии $\xi_i \sim 1$. Если же учесть, что основной вклад в область масс $M^2/s_1 \sim 1/m\sqrt{\sigma}$ дают P' и ω полюса с $a_i(0) = 1/2$ (что соответствует линейному закону падения $d^2\sigma_B/dt dM^2$ с ростом M^2 и отсутствию зависимости функции ρ_B от x), что $\xi_i \approx \epsilon$, где $\epsilon = \alpha_{P',\omega}(0) - \frac{1}{2} \approx 0,1$ [9] и, следовательно, $\Delta_B \sim \Delta_B^{(P',\omega)} \lesssim \epsilon \Delta_B^{max}$. Малость вклада полюсов с $a(0) = 1/2$ в теньевую поправку отмечалась ранее в работе [6]. Более далекие полюса, например π , также дают малый вклад в Δ_B , так как в этом случае инвариантная функция $\rho_B \sim (1-x)^{1-2a_i(t)}$ близка к нулю в области малых $1-x$ и поэтому $\Delta_B^{(\pi)} < (1/m\sqrt{\sigma}) \Delta_B^{max}$. Отметим, что вклады полюсов P' , ω и π не интерферируют между собой: P' с ω и π в силу правил отбора по G -четности, а ω с π из-за различной спиновой структуры вершин ωNN и πNN .

Изложенные соображения позволяют сделать вывод, что область больших масс дает малый вклад в теневую поправку $\Delta_B < 0,1 \Delta_{e1}$. Для более тяжелых ядер вклад больших масс еще менее существен, поскольку Δ_B обратно пропорциональна объему ядра.

Величину вклада дифракционной диссоциации Δ_P в области энергий $s_1 \gg m^3 \sqrt{\sigma}$ удобно представить в таком виде

$$\Delta_P = 2\sigma_P \bar{b}_P (\sigma + \bar{b}_P)^{-1}, \quad (5)$$

где σ_P — сечение образования пучка частиц за счет дифракционной диссоциации, \bar{b}_P — средний наклон дифракционного конуса для этих процессов. Поскольку упругая теневая поправка Δ_{e1} также может быть представлена в аналогичном виде [4]

$$\Delta_{e1} = 2\sigma_{e1} \bar{b}_{e1} (\sigma + \bar{b}_{e1})^{-1}, \quad (6)$$

где σ_{e1} и \bar{b}_{e1} — сечение и наклон дифракционного конуса для упругого рассеяния, то учитывая, что $\bar{b}_P \approx \bar{b}_{e1}$ [7], имеем

$$\Delta_P / \Delta_{e1} = \sigma_P / \sigma_{e1}. \quad (7)$$

Используя значения σ_P , найденные в работе [7], получаем $\Delta_P / \Delta_{e1} = 0,20 \pm 0,04$ для pd , $0,38 - 0,13$ для πd и $0,50 \pm 0,20$ для Kd -рассеяния. Для более тяжелых ядер вклад дифракционной диссоциации будет достигать величины такого же масштаба при более высоких энергиях $s_1 = 2mE \gg m^3 R$.

При энергиях в $E > 10$ Гэв, когда параметр $m^3 \sqrt{\sigma} / s_1$ еще не очень мал, Δ_P весьма слабо растет с энергией. Этот рост может быть описан формулой

$$\Delta_P = C_1 - C_2 [\ln(s_1 / m^3 \sqrt{\sigma})]^{-1}, \quad (8)$$

которая получается в предположении, что спектр масс для дифракционной диссоциации убывает минимально возможным образом с ростом M $d^2\sigma_P / dt dM^2 \sim 1/M^2 \ln^2 M^2$.

Абсолютные значения теневой поправки, вычисленные по формуле $\Delta = \Delta_{e1} + \Delta_P$, где величины Δ_P и Δ_{e1} даются формулами (5) — (6), и энергетическая зависимость этой поправки [8] находятся в удовлетворительном согласии с экспериментальными данными для πd -рассеяния в области энергий 15 — 60 Гэв [10].

Авторы признательны М.С.Маринову, К.А.Тер-Мартirosяну и И.С.Шапиро за полезные обсуждения.

Поступила в редакцию
31 декабря 1971 г.

Литература

- [1] R.J.Glauber .Phys. Rev., **100**, 242, 1955.
- [2] J.Pumplin, M.Ross. Phys. Rev. Lett., **21**, 1778, 1968.
- [3] В.Н.Грибов. ЖЭТФ, **56**, 892, 1969.
- [4] S.A.Gurvits, M.S.Marinov. Phys. Lett., **32B**, 55, 1970.

- [5] R.P.Feynman. Phys. Rev. Lett., 23, 1415, 1969.
 - [6] О.В.Канчели, С.Г.Матинян. ЯФ, 13, 143, 1971.
 - [7] А.Б.Кайдалов. ЯФ, 13, 401, 1971.
 - [8] J.Allaby et al. CERN Preprint, May, 1971.
 - [9] К.Г.Воресков, А.М.Ларидус, С.Т.Сухорукон, К.А.Тер-Мартirosyan. Preprint ИТЕР, NO 865, 1971.
 - [10] Ю.П.Горин и др. Препринт ИФВЭ, СЭФ 71-49, 1971,
-